

Journal Homepage: - www.journalijar.com

INTERNATIONAL JOURNAL OF ADVANCED RESEARCH (IJAR)

Article DOI: 10.21474/IJAR01/22103
DOI URL: http://dx.doi.org/10.21474/IJAR01/22103



RESEARCH ARTICLE

ETUDE EXPERIMENTALE D'UN SECHOIR SOLAIRE MIXTE APPLIQUEE AU SECHAGE DE LEGUMES ET FRUITS: EFFET DE LA NATURE DU PRODUIT SUR LA DUREE DE SECHAGE

Ladifata Mogmenga^{1,2}, Nebon Bado², Gilbert Nana ^{1,2}, Thierry Sikoudouin Maurice Ky², Ayouba Niangao², Bouchaib Hartiti³, Philippe Thevenin⁴, Sie Kam² and Joseph Dieudonne Bathiebo²

- 1. Universite Ledea Bernard OUEDROGO, Departement de Physique Chimie, Burkina Faso.
- 2. Universite Joseph KI-ZERBO, Laboratoire d'Energies Thermiques Renouvelables, Burkina Faso.
- 3. Universite Hassan II de Casablanca, Laboratoire ERDyS GMEEM, Mohammedia, Morocco.
- 4. Universite de Lorraine, Department de Physique, Laboratoire LMOPS, Metz, France.

.....

Manuscript Info

..... Manuscript History

Received: 04 September 2025 Final Accepted: 06 October 2025 Published: November 2025

Key words:-

sechoir, solaire, legumes, microorganismes,deshydratation

Abstract

En Afrique de l'Ouest, les vendeurs des produits agroalimentaires rencontrent des difficultes à ecouler leurs marchandises. Pour eviter les pertes, ils ont recours au sechage à l'air libre exposant ainsi les produits à diverses contaminations. Afin de palier à ces limites, des sechoirs solaires sont de nos jours developpes. Des etudes ont montre qu'en fonction du type de sechoir utilise, le temps de sechage diffère pour un produit donne. Mais quand est-il de ce temps lorsqu'on utilise un même sechoir pour plusieurs produits? L'objectif de ce travail etait de montrer l'effet de la nature du produit sur la duree de sechage. Le dispositif de sechage utilise dans le present travail est un sechoir solaire mixte, conçu au laboratoire d'energies Thermique Renouvelables de l'Universite Joseph KI-ZERBO au Burkina Faso. Les experiences de sechage ont ete realisees sur le poivron, le gingembre, le gombo, le piment habanero et la tomate et du 14 au 23 avril 2025. A l'issus des differents tests, le rendement du capteur est estime en moyenne egal à 25,38%, et le rendement thermique moyen du sechoir pour les differents produits varie de 19,22% à 22,22%. Les differents tests realises sur les produits, montrent des temps de sechage allant de 8h pour le gombo à 18 h pour le gingembre.

"© 2025 by the Author(s). Published by IJAR under CC BY 4.0. Unrestricted use allowed with credit to the author."

Introduction:-

L'utilisation de l'energie solaire pour des applications thermiques, telles que le chauffage, la distillation de l'eau et le sechage a augmente en raison des fluctuations du prix des combustibles fossiles et du desequilibre ecologique [1].

Corresponding Author:- Ladifata Mogmenga

Address:- 1. Universite Ledea Bernard OUEDROGO, Departement de Physique Chimie, Burkina Faso. 2. Universite Joseph KI-ZERBO, Laboratoire dEnergies Thermiques Renouvelables, Burkina Faso.

Les produits maraichers (fruits et legumes), apparaissant de manière periodique, sont souvent disponibles en abondance entrainant ainsi un problème lie à leur ecoulement. Certains produits agroalimentaires comme les fruits et legumes sont generalement commercialises sous forme fraiche ou sechee. Le piment (Capsicum sp.), le gingembre et le poivron sont utilise comme des epices dans le monde sous forme ecrasee ou sous forme de moutard [2], [3]. Ils sont surtout prises dans les pays côtiers [4]. Ils sont très apprecies des consommateurs à cause de leur goût piquant et aussi de leurs qualites nutritionnelles en vitamines et en oligoelements. Le piment, le poivron et le gingembre se caracterisent egalement par leurs proprietes antioxydantes, anti-inflammatoires, antibiotiques, antivirales et anti-cancereuses... [5], [6], [7]. Ils regorgent de vitamines qui jouent un rôle cle dans le maintien de l'immunite du système nerveux et de la sante des os. Toutes ces proprietes font d'eux des allies de la medecine [8] [9]. Utilises à l'etat prepare ou cru, en salade, en puree ou en jus, que ce soit les feuilles ou les fruits, le gombo et la tomate regorgent de plusieurs atouts. Allies de la medecine, ils sont utilises en tant qu'anti-inflammatoire, diuretique, antiseptique, antispasmodique, reducteur de taux de sucre... [10]. La tomate contribue à la prevention de nombreuses maladies chroniques comme le cancer et les maladies cardiaques [11], [12].

Au Burkina Faso, les periodes de fortes temperatures (pouvant atteindre les 45°C en temperature irradiante) constitue egalement un frein à la conservation à l'etat frais des legumes et fruits qui contiennent souvent une très importante quantite d'eau. Ces difficultes liees à la conservation, entraine assez de perte post-recolte pour les producteurs et les revendeurs qui utilisent des techniques de sechages qui malheureusement impactent negativement sur la qualite nutritionnelle et organoleptiques des produits seche [13], [14], [15]. Face à cela, des techniques de sechage permettant de reduire la duree de sechage et de preserver la qualite des produits maraichers ont ete developpees. Par exemple des etudes ont ete menees sur l'evaluation de differents types de sechoirs solaires sur des produits agricoles, des fruits et legumes [16]. Ils ont rapporte une nette diminution de l'humidite du piment au bout de 48h de sechage et ressortis egalement une difference de temps de sechage en fonction du sechoir utilise. Les etudes menees sur le sechage solaire du piment ont rapporte que l'utilisation des equipements de sechage comme le sechoir solaire à serre a permis de reduire l'humidite de piment de 75 % à 15 % au bout de trois (03) jours de sechage [17].

Cependant, on est amene à se poser la question par rapport à l'effet de la nature du produit sur la duree de sechage pour un même dispositif de sechage utilise? en effet chacun des produits cultives, a des proprietes physicochimiques et nutritionnelles propres et differents. Ainsi on peut constater que ces produits ne regorgent pas de la même quantite d'eau. L'objectif du present travail, est de mener une etude sur l'effet de la nature (texture) du produit sur la duree de sechage pour un sechoir solaire mixte utilise pour le sechage de differents legumes et fruits. Il s'agira donc de secher le piment, le poivron, le gombo, le gingembre et la tomate qui sont des fruits et legumes de textures differentes.

Materiel et Methodes:-

Materiel:-

Les produits seches sont: le piment Habanero, le gingembre, le poivron vert, la tomate et le gombo. Le tableau 1 montre les teneurs en eau initiales des differents produits. Le dispositif utilise pour les differents tests est un sechoir mixte (figure1), dont les dimensions et caracteristiques sont regroupees dans le tableau 2. Ce sechoir à ete conçu par Aoue et al [18], au laboratoire L.E.T.RE au sein de l'Universite Joseph KI-ZERBO dans la capitale Ouagadougou (latitude 12.23°Nord) du Burkina Faso.



Figure1: Sechoir solaire mixte utilise

Pour la prise des masses, nous avons utilise une balance electronique de marque PCE-BH 6000. Pour l'acquisition des donnees, un data logger midi LOGGER GL 220 a ete utilise connecte à des thermocouples de type K. Un pyranomètre de type: SR03, de Serie: 3086 et de Sensibilite: 9,58 $\mu V(W/m^2)$ a ete utilise pour les mesures de l'irradiation. Pour la mesure de la vitesse du vent un anemomètre à fil chaud a ete utilise.

Tableau 1: teneur en eau initiale des produits

| Tableau 1: teneul en eau initiale des produits | | | | |
|--|-------------------|--|--|--|
| Produits | Teneur en eau (%) | | | |
| Poivron | 92% | | | |
| Gingembre | 85% | | | |
| Gombo | 90% | | | |
| Piment habanero | 85% | | | |
| Tomate | 90% | | | |

Tableau2: dimensions du sechoir mixte

| Dimensions du Capteur thermique | | Longueur :145cm | Largeur :59,5cm | Hauteur :15cm |
|------------------------------------|-------------------------------|-----------------|-----------------|----------------|
| | Entree d'air | Hauteur :9cm | Largeur :54,5cm | |
| | Vitrage | Longueur :140cm | Largeur :53cm | |
| | Les obstacles (nombre=5) | Hauteur :6cm | Longueur :30cm | Largeur :3,5cm |
| Chambre de sechage | | Hauteur: 97,7cm | Largeur :65cm | |
| | Dimensions reelles du vitrage | Hateur :30cm | Largeur :59cm | |

| Hauteur :25cm | Largeur :10cm | |
|-------------------|----------------|---|
| Longueur : 54,5cm | Largeur :5,5cm | |
| | | Hauteur :25cm Largeur :10cm Longueur : 54,5cm Largeur :5,5cm |

Methodes:-

Le test à vide a ete fait le 14 avril 2025 afin de determiner les performances thermiques du collecteur (capteur). Les tests à charge ont commence le 15/04/2025 et ont pris fin le 23/04/2025. Pour chaque produit pris dans son etat d'humidite intiale presente dans le tableau 1, nous avons utilise une masse de 1kg de produit nettoye. La masse ainsi obtenue est repartie sur 4 claies soit 250g par claie. Le gombo, la tomate, le gingembre, le poivron et le piment habanero ont ete decoupe en rondelle avant d'être dispose sur les claies pour le sechage.

Determination des paramètres de cinetiques de sechage:

Les donnees relatives à la temperature de sechage au niveau des differents claies, à l'entree et la sortie de la cage de sechage, à l'entree et à la sortie du capteur, de l'ambiance, et de l'irradiation ont ete collectees a des pas de temps de 5mn, lors des tests de sechage. Les masses initiales des produits frais avant sechage ainsi que les masses intermediaires au cours du sechage et finales en fin de sechage ont ete prises à l'aide d'une balance chaque 1h.

Estimation des paramètres caracteristiques:

Le rendement thermique du capteur est calcule à partir de la formule (1).

$$\eta_c = \frac{Q_m(t) \times C_p \times (T_s(t) - T_e(t))}{E_n(t) \times S}$$

$$Q_m(t) = D \times \rho(t)$$

$$\rho(t) = 1,292 \times \frac{T_0}{T_m(t)}$$

La teneur en humidite instantanee du produit sera evaluee en utilisant la formule suivante:

$$X(t) = \frac{m(t)(X_0 + 1) - m_0}{m_0}$$

Le rendement du sechoir est evalue pour chaque produit seche en appliquant la formule suivante [19]:

$$\eta_{sch} = rac{rac{m_e}{t_s} rac{\sum h(t)}{n}}{rac{\sum e_{ab}(t)}{n}}$$

h(t) peut être considere comme une fonction lineaire dependant de la temperature T comprise entre 0 et 100°C donnee par l'equation suivante:

$$h(t) = -2,446 \times (T(t) - T_0) + 2501$$

Nomenclature

 $Q_{\scriptscriptstyle m}(t)$: Le debit massique d'air en kg/s

 $C_p :$ La capacite thermique specifique de l'air en J/kg/K

 $T_m(t)$: Temperature moyenne de sortie du capteur en °C

 $T_e(t)$: Temperature de sortie du capteur en °C

 $T_s(t)$: Temperature d'entree du capteur en °C

S: La surface du collecteur en m^2

 E_n : L'ensoleillement en W/m²

ho(t): La densite de l'air en kg/m3

D: Le debit volumique de l'air à l'entree du capteur en m3/s

 X_0 etant la teneur initiale en eau à base sèche (kg.eau/kg.ms)

 m_0 : la masse initiale (kg);

m(t): la masse du produit à l'instant t

 m_e : la masse d'eau evaporee ou extraite (kg)

 t_s : temps de sechage (en seconde);

 T_0 : la temperature de reference (=273,15K)

T(t): la temperature moyenne de la chambre de sechage correspondant à la temperature de la claie 2 en K

 $e_{ab}(t)$: puissance absorbee par le collecteur en W

Tamb_moy: temperature ambiante moyenne (°C)

Tscap_moy et **Tscap_max:** temperature moyenne et maximale à la sortie du catpteur (°C)

Tcli: temperature des claie (°C)

DeltaT_moy: gain en temperature moyen entre la temperature à la sortie du capteur et la temperature ambiante (°C)

Resultats Et Discussion:-

Test à vide:

La figure 2 presente l'allure de l'irradiation enregistree la journee du 14/04/2025 lors du test à vide. Les mesures ont commence à 7h45 avec un rayonnement de 208W/m², atteint une valeur maximale de 854 W/m² à 12h 00mn, puis se sont termine à 17h 20mn avec un rayonnement de 49 W/m². L'ensoleillement moyen enregistre ce jour etait de 528,58 W/m². On note une tendance generale de la courbe en forme de cloche suggerant une previsibilite tout au long de la journee. Les fluctuations observees peuvent être principalement dues à des passages nuageux. Ces variations mettent en evidence l'impact des conditions meteorologiques variables sur l'ensoleillement, ce qui peut aussi avoir des consequences sur le fonctionnement du sechoir.



Figure 2: courbe de l'irradiation de la journee du 14/04/2025

La figure 3 suivante presente la vitesse de l'air à la sortie du capteur. On constate une instabilite au cours de la journee avec un maximum de 0,31m/s. Cette instabilite montre sa dependance au conditions climatiques de la journee. La valeur moyenne enregistre est de 0,15m/s. On note des pics aux environs de 9h 00mn, 10h 20mn et 14h15mn. La courbe de rendement (figure 4), a la même allure que celle du rayonnement, montrant ainsi la dependance du capteur aux conditions climatiques. Le capteur est plus efficace entre 08h 55 mn et 15h 55 mn avec une variation du rendement thermique comprise entre 20,7% à 54%. L'application de la formule 1 donne un rendement moyen de 25,38% dans la journee du 14/10/2025.

La figure 5 montre l'allure des temperatures ambiante et à la sortie du capteur. Les courbes ont la même forme que celle de l'irradiation de la journee. La temperature ambiante et celle à la sortie du capteur aideront à determiner le gain de temperature enregistre grâce au capteur, et donc à evaluer sa puissance energetique.

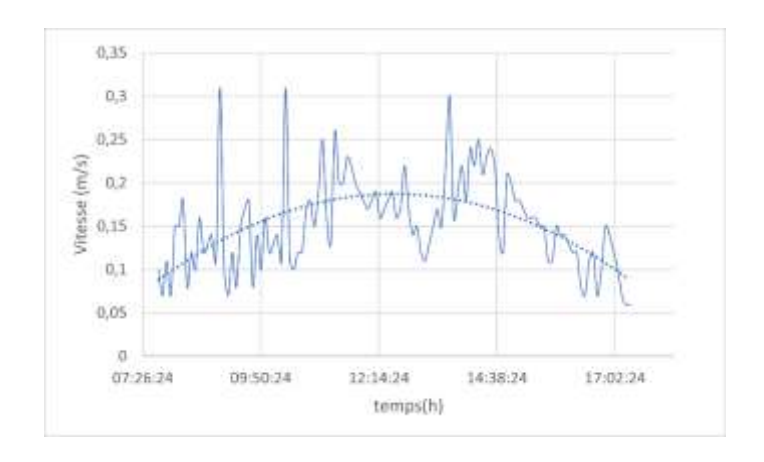


Figure 3 : courbe de la vitesse de l'air à la sortie du capteur en fonction du temps la journee du 14/04/2025

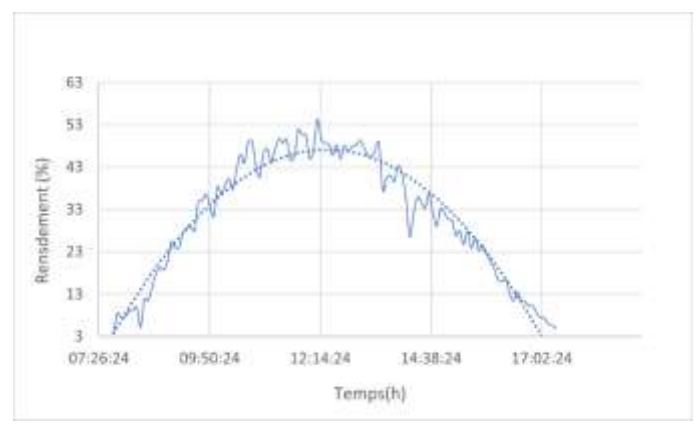


Figure 4: courbe de rendement thermique du capteur en fonction du temps la journee du 14/04/2025

Une temperature maximale à la sortie du capteur de 69,7°C a ete mesuree à 12h 10mn pour une temperature ambiante maximale de 39,9°C. L'ecart le plus important entre la temperature d'entree et la temperature de sortie est de 29,5 °C et s'est produit à 12 h10mn. L'augmentation de la temperature de sortie de la cage de sechage à partir de 12h30mn s'explique par l'apport du vitrage en haut du sechoir qui cree l'effet de serre.

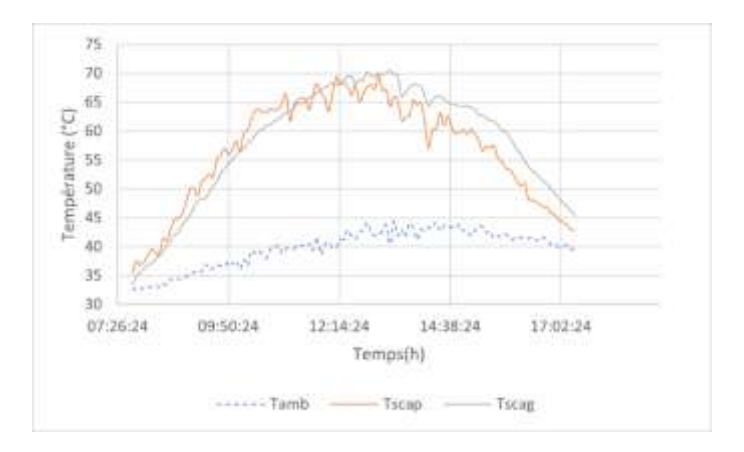


Figure 5: courbe de temperature: ambiante (Tamb), du capteur (Tscap) et sortie de la cage de sechage (Tscag) en fonction du temps la journee du 14/04/2025.

Test à charge:-

Les tests à charge ont ete effectue du 15/04/2025 au 23/04/2025. Les figures 6, 7, 8, 9 et 10 montrent les courbes des irradiations (a-i), de temperatures ambiante (T_{amb}), de sortie du capteur (T_{scap}), des claies (T_{cli}) et de la teneur en eau enregistrees pendant ces journees. Les courbes d'irradiation ont toutes une tendance generale en forme de cloche suggerant une previsibilite tout au long des journees. Les fluctuations observees peuvent être dues à des passages nuageux. Le tableau 3 montre que ces journees etaient bien ensoleillees avec des maximas allant de 802 à 945W/m^2 et des irradiations moyennes pour les journees pleines allant de 533,36 à 719,6 W/m². Au cours de ces journees de sechage, les temperatures internes (tableau 5), oscillaient durant le sechage avec des moyennes allant de $45,89^{\circ}$ C à $59,91^{\circ}$ C. L'analyse des temperatures moyennes, des DeltaT (T_{scap} - T_{amb}) et des irradiations moyennes et maximales

enregistres en ces journees, montre que la journee du 16/04/2025 correspondant au sechage du poivron etait la mieux ensoleillee avec un ensoleillement moyen enregistre de 719,6 w/m² et un Delta (T) moyen de 20,89°C.

Tableau 3: irradiations maximales et moyennes des journees

| Produits | Journees | Irradiation maximale (W/m²) | Irradiation moyenne (W/m²) |
|-----------|------------|-----------------------------|----------------------------|
| Poivron | 15/04/2025 | 845 | 558,26 |
| | 16/04/2025 | 860 | 719,6 |
| Gingembre | 17/04/2025 | 965 | 457,17 |
| | 18/04/2025 | 902 | 587,36 |
| Gombo | 19/04/2025 | 886 | 533,36 |
| Piment | 20/04/2025 | 893 | 553,81 |
| | 21/04/2025 | 896 | 313,86 |
| Tomate | 22/04/2025 | 942 | 631,35 |
| | 23/04/2025 | 802 | 524,63 |

Tableau4: temperatures ambiantes et à la sortie du capteur

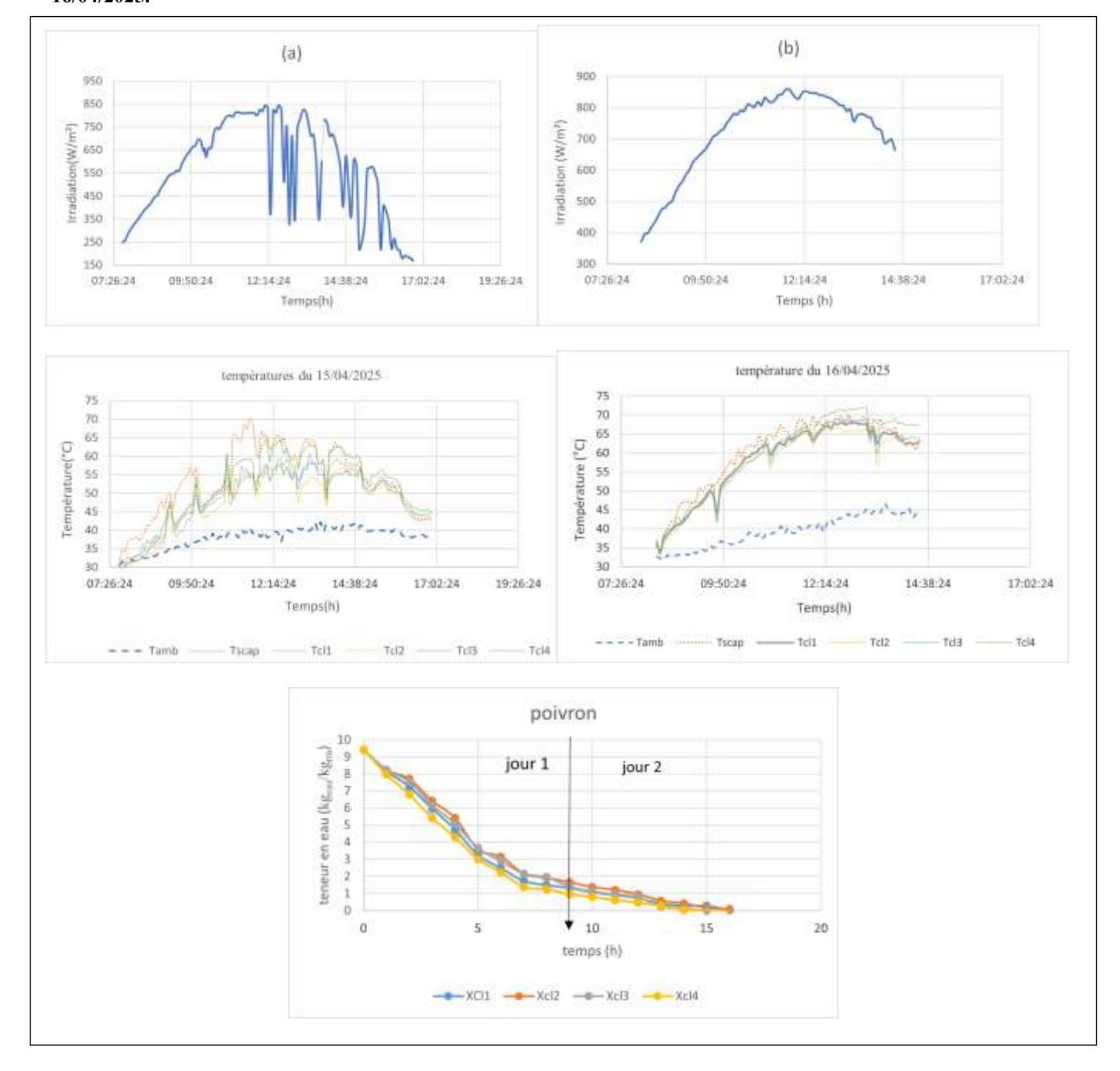
| Produits | Journees | Tamb_moy(°C) | Tscap_moy(°C) | Tscap_max(°C) | Delta(T)_moy(°C) |
|-----------|------------|--------------|---------------|---------------|------------------|
| Poivron | 15/04/2025 | 38,09 | 53,41 | 70,3 | 15,32 |
| | 16/04/2025 | 39,39 | 60,28 | 70,1 | 20,89 |
| Gingembre | 17/04/2025 | 37,53 | 52,79 | 68,9 | 15,26 |
| | 18/04/2025 | 39,26 | 57,6 | 72,1 | 18,34 |
| Gombo | 19/04/2025 | 39,41 | 56,99 | 72,5 | 17,58 |
| Piment | 20/04/2025 | 39,32 | 56,9 | 68,6 | 17,58 |
| | 21/04/2025 | 37,97 | 58,54 | 73,5 | 20,57 |
| Tomate | 22/04/2025 | 40,31 | 59,17 | 72,4 | 18,86 |
| | 23/04/2025 | 36,87 | 53,76 | 63,2 | 16,89 |

Tableau 5: temperatures moyennes au niveau des claies

| Produits | Journees | Tamb_moy(°C) | Tscap_moy(°C) | Tcl1(°C) | Tcl2(°C) | Tcl3(°C) | Tcl4(°C) |
|-----------|------------|--------------|---------------|----------|----------|----------|----------|
| | | | | | | | |
| Poivron | 15/04/2025 | 38,09 | 53,41 | 48,99 | 47,73 | 48,57 | 51,53 |
| | | | | | | | |
| | 16/04/2025 | 39,39 | 60,28 | 58,19 | 57,17 | 58,16 | 59,91 |
| | | | | | | | |
| Gingembre | 17/04/2025 | 37,53 | 52,79 | 49,41 | 45,89 | 48,39 | 49,79 |
| | | | | | | | |
| | 18/04/2025 | 39,26 | 57,6 | 55,5 | 55,21 | 56,83 | 58,33 |
| | | | | | | | |

| Gombo | 19/04/2025 | 39,41 | 56,99 | 48,72 | 47,51 | 49,38 | 51,5 |
|--------|------------|-------|-------|-------|-------|-------|-------|
| Piment | 20/04/2025 | 39,32 | 56,9 | 51,72 | 51,57 | 52,07 | 53,75 |
| | 21/04/2025 | 37,97 | 58,54 | 54,59 | 54,72 | 54,57 | 56,17 |
| Tomate | 22/04/2025 | 40,31 | 59,17 | 50,47 | 50,56 | 51,03 | 54,01 |
| | 23/04/2025 | 36,87 | 53,76 | 51,78 | 51,75 | 52,82 | 53,78 |

La figure 6 presente les courbes d'evolution de l'irradiation (a et b), des temperatures ambiante (T_{amb}), de sortie du capteur (T_{scap}), des claies (T_{cl}) et de la cinetique de sechage du poivron les journees du 15 au 16/04/2025.



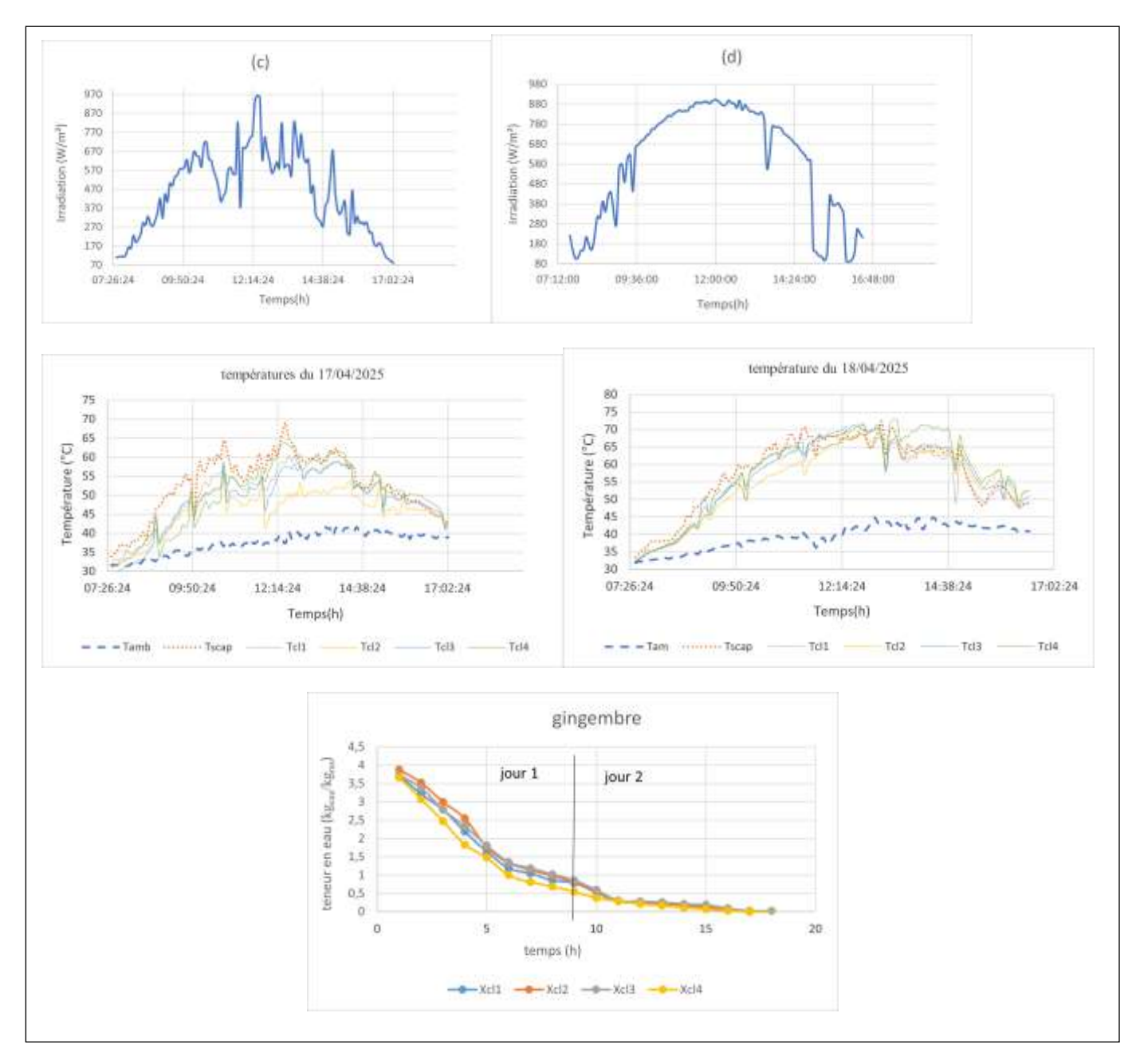


Figure 7: courbes d'evolution de l'irradiation (c et d), des temperatures ambiante (T_{amb}), de sortie du capteur (T_{scap}), des claies (T_{cl}) et de la cinetique de sechage du gingembre les journees du 17 au 18/04/2025. La figure 8 presente les courbes d'evolution de l'irradiation (e), des temperatures ambiante (T_{amb}), de sortie du capteur (T_{scap}), des claies (T_{cl}) et de la cinetique de sechage du gingembre la journee du 19/04/2025.

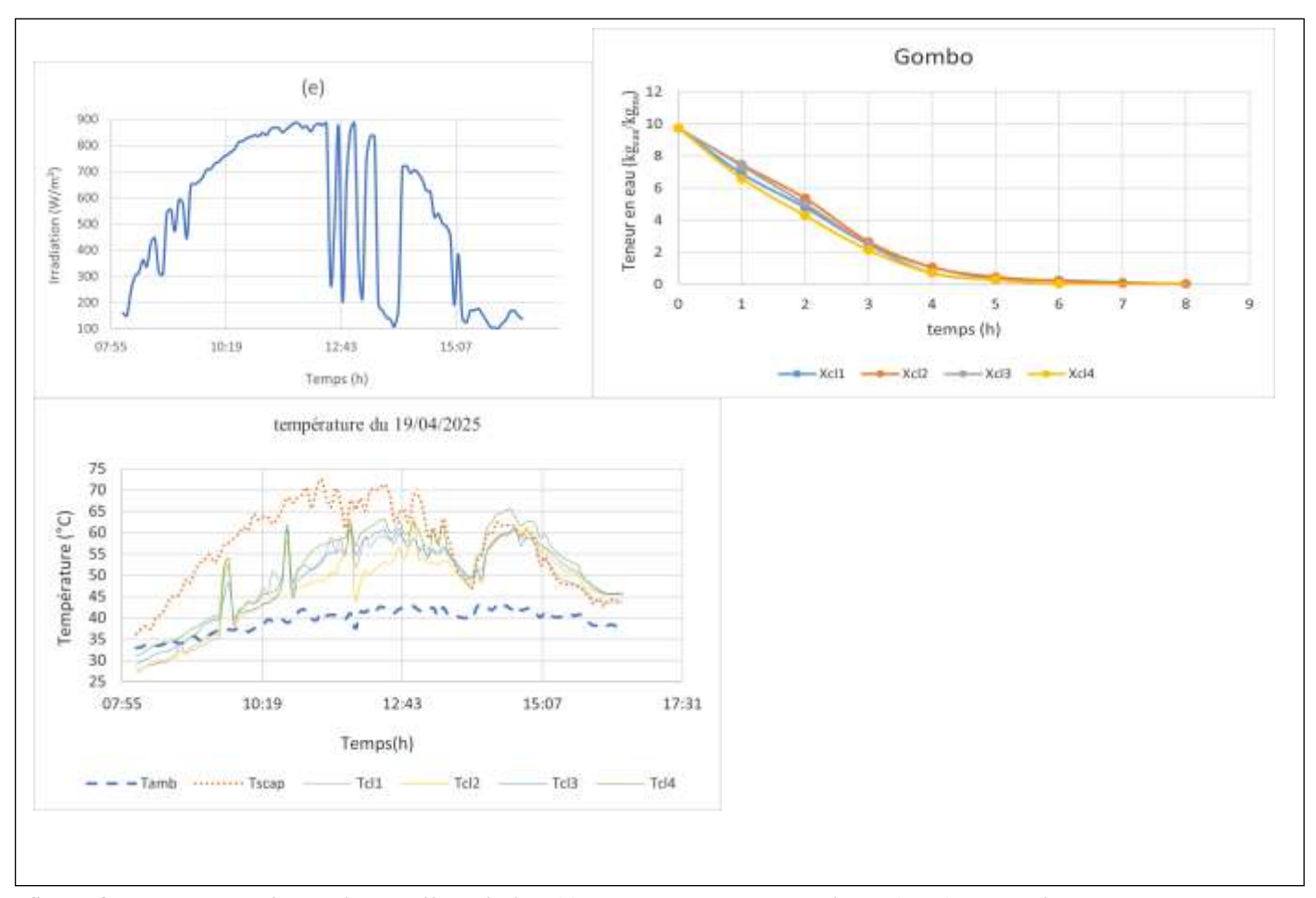


figure 8 : les courbes d'evolution de l'irradiation (e), des temperatures ambiante (T_{amb}), de sortie du capteur (T_{scap}), des claies (T_{cl}) et de la cinetique de sechage du gingembre la journee du 19/04/2025.

La figure 9 montre les courbes d'evolution de l'irradiation (f et g), des temperatures (f et g) ambiante (T_{amb}), de sortie du capteur (T_{scap}), des claies (T_{cli}) et de la cinetique de sechage du piment habanero les journees du 20 au 21/04/2025 et la figure 10, celles de l'irradiation (h et i), des temperatures ambiante (T_{amb}), de sortie du capteur (T_{scap}), des claies (T_{cli}) et de la cinetique de sechage de la tomate les journees du 22 au 23/04/2025.

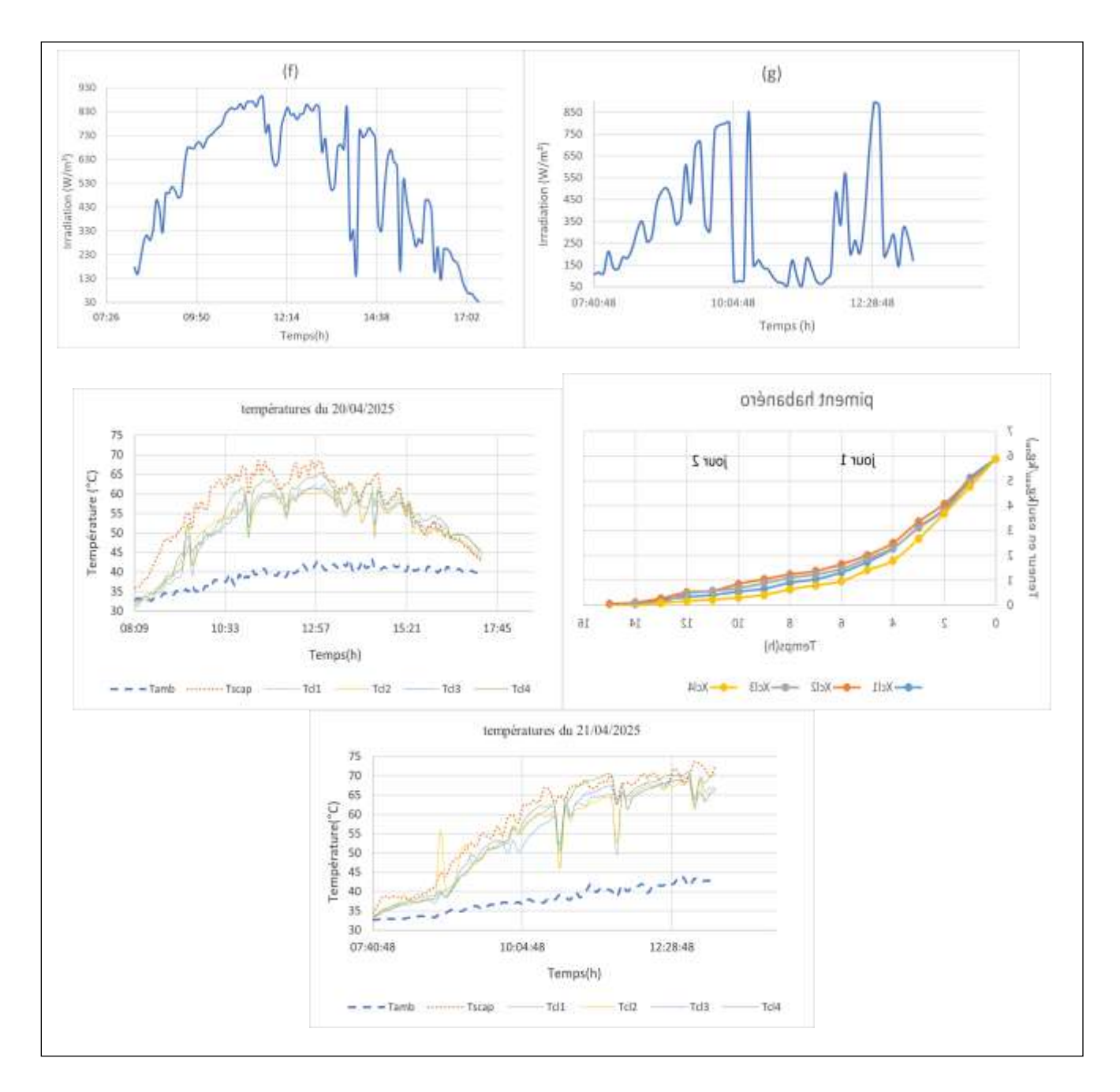


figure 9 : courbes d'evolution de l'irradiation (f et g), des temperatures ambiante (T_{amb}), de sortie du capteur (T_{scap}), des claies (T_{cl}) et de la cinetique de sechage du piment habanero les journees du 20 au 21/04/2025. Figure 10 affiche les courbes d'evolution de l'irradiation (h et i), des temperatures ambiante

 (T_{amb}) , de sortie du capteur (T_{scap}) , des claies (T_{cl}) et de la cinetique de sechage de la tomate les journees du 22 au 23/04/2025.

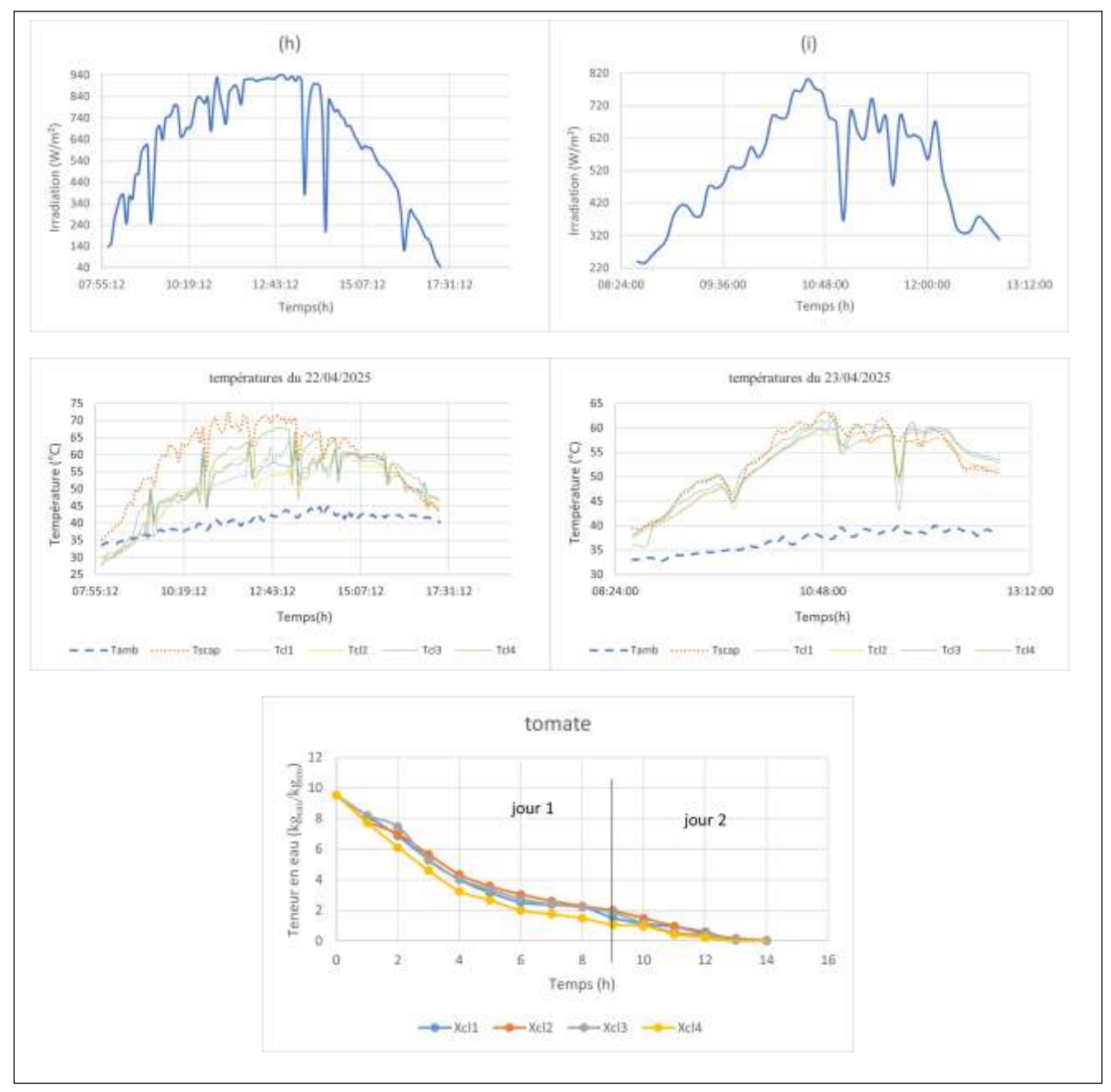


Figure 10: courbes d'evolution de l'irradiation (h et i), des temperatures ambiante (T_{amb}), de sortie du capteur (T_{scap}), des claies (T_{cl}) et de la cinetique de sechage de la tomate les journees du 22 au 23/04/2025.

Les courbes $(T_{amnb}, T_{scap}$ et $Tcl_i)$ montrent les temperatures ambiantes, les temperatures à la sortie du capteur et celles au niveau des quatre claies, enregistrees au cours des sechages des differents produits. On note une difference de temperatures d'une claie à une autre, allant à la baisse. Cette baisse de temperature est sans doute due à la recuperation de chaleur par les produits pour liberer l'eau. Ce pendant l'ecart important en hausse (tableau 4) observe pour la claie 4, s'explique par l'apport du vitrage en haut de la cage qui cree l'effet de serre et donc un apport en chaleur.

Après plusieurs mesures et l'application de la formule (4), les cinetiques de sechage des produits sont representees sur les figures de teneur en eau pour les différents (figure 6,7,8,9 et 10) produits. La cinetique de sechage suit une courbe exponentielle decroissante, comme prevu. Cela traduit que le produit perd en eau et que l'air au sortir de la cage s'enrichit en humidite. Les produits places sur la première claie et la dernière claie ont seche plus vites que les produits sur les autres claies traduisant ainsi la perte de chaleur de l'air entrant dans la cage au fur et à mesure que celui-ci monte.

A travers le tableau 1, on peut constater que tous les produits presentent une teneur en eau initiale d'au moins 80%. Ce qui pourrait presager que ceux-ci soient seches au bout du mème temps. Cependant, nous constatons à travers les resultats de sechage de ces cinq produits, des temps de sechage differents. Le sechage global a pris moins de 16 heures pour le poivron, 18 heures pour le gingembre, 8 heures pour le gombo, 15 heures pour le piment habanero et 14heures pour la tomate.

Nos resultats sont corrobores par plusieurs etudes. En effet, [20] dans leur etude sur le sechage de la tomate prise à 90% et seche jusqu'a 10% d'humidite, ont montre que le temps de sechage approxime à 8h pouvait etre reduit de 21 % soit 1h 57mn environ, tout en augmentant la temperature interne du sechoir et en reduisant l'humidite relative par ajout d'un concentrateur solaire. [21] dans leur travail ont montre à traves les resultats que le sechage des tomates en mode ISD (26 h) prenait plus de temps qu'en mode MSD (17 h). L'efficacite du capteur solaire etait comprise entre 52,30 % et 55,45 %. L'efficacite globale du sechoir en mode MSD et ISD etait comprise entre 10,66 % et 8,80 % respectivement. [22] au cours du sechage de 4g de gingembre pris initialement à 80 % d'humidite, trouvent, après trois jours de sechage, un poids de 0,830 g dans une circulation d'air naturelle et de 0,620 g dans une circulation d'air forcee. [23] à travers l'utilisation des concentrateurs spheriques comme collecteur, ont touve un temps approximatif.

On note que le gombo a seche plus vite, suivit de la tomate, du habanero, du poivron et enfin du gingembre. Ce resultat pourrait donc s'expliquer par la texture, la porosite, le type de peau (ferme, fine, dense, lisse, tendue) du produit mais aussi de la manière de les decouper. En effet en fonction que ces produits soient coupes en rondelles ou en lamelles, qu'ils soient juteux, charnue ou croquant, la migration de l'eau à travers les pores ne se fera pas de la même manière. Aussi en fonction de la texture (quantite d'amidon par exemple) et donc du lien entre les differentes fibres, il serra plus difficile d'arracher les molecules d'eau, ce qui augmente donc le temps de sechage.

En utilisant les equations (5) et (6), et en considerant que la temperature de la claie centrale est egale à la temperature moyenne de la chambre de sechage T(t) pendant le processus de sechage, le calcul de l'efficacite du sechoir donne respectivement 20, 1% pour le poivron, 22,22% pour le gingembre, 19,22% pour le gombo, 19,95 pour le piment habanero et 19,97% pour la tomate. Soit un rendement moyen du sechoir ηsh= 20, 29 %.

Conclusion:-

Après l'evaluation thermique du sechoir solaire mixte conçu par Aoue et al en 2023 au laboratoire d'energies thermiques renouvelables (LETRE), en mode convection naturelle et le sechage d'un kilograme de Poivron, gingembre, gombo, piment habanero et tomate, la conclusion suivante peut être tiree:

Le collecteur est un collecteur ordinaire avec un rendement de 25,38 % le jour de la mesure, qui a eu lieu le 14 /04/2025.

- La cinetique de sechage est exponentielle decroissante, comme prevu.
- Le processus de sechage a ete acheve en moins de 16 heures pour le poivron, 18heures pour le gingembre, 8heures pour le gombo,15heures pour le piment habanero et 14heures pour la tomate.
- La texture du produit à bien un effet sur la duree de sechage
- Le sechoir a un rendement de sechage respectivement de 20, 1% pour le poivron, 22,22% pour le gingembre, 19,22% pour le gombo, 19,95 pour le piment habanero et 19,97% pour la tomate. Soit un rendement moyen du sechoir $η_{sh}$ = 20, 29 %.

Le mode de convection forcee en adjoignant un extracteur et des ventilateurs à notre sechoir pourrait être envisage pour ameliorer le processus de sechage en reduisant le temps de sechage.

Conflits d'interêts:

Les auteurs declarent n'avoir aucun conflit d'interêts concernant la publication de cet article.

Remerciements

Les auteurs remercient chaleureusement le Programme scientifique international (ISP) pour son soutien au BUF01 au Burkina Faso. Ils remercient egalement la Federation pour la paix mondiale et l'unification (FFWPU-HQ, Coree du Sud) pour les ressources mises à leur disposition afin de mener à bien ce travail.

References:-

- 1. S. K. R. M. A. M. S. M. Fudholi, «Review of solar dryers for agricultural and marine products .,» . Journal of Renewable and Sustainable Energy Reviews, vol. 14, p. 1–30, 2010..
- 2. Y. O. A. K. F. A. M. B. Tchamye Tcha-Esso BOROZE, «Sechage solaire de cereales : cinetiques, evaluations thermo-hygrometrique et energetique.,» Journal de la Societe Ouest-Africaine de Chimie,, vol. 046, pp. 41-49, 2018..
- 3. D. A. D. D. e. C. S. Datta C., «Adsorption of polyphenols from ginger rhizomes on anion exchange resin Amberlite IR-400-Stady on effect of PH and Temperature,» Procedia food Science, vol. 1, pp. 893-899, 2011,.
- 4. M. C. P. J. Z. D. D. E. B. & S. J. Karam, «Effects of drying and grinding in production of fruit and vegetable powders: A revew,» Journal of food engineering, vol. 188, pp. 32-49, (2016).
- 5. M. N. D. A. e. M. B. Mukherjee S., «An approach towards optimization of extraction of polyphenolic antioxidants from ginger,» Journal of Food Science and Technology, vol. 51, pp. 3301-3308, 2014,.
- D. A. A. P. L. L. D. M. V. R. a. S. A. Orobiyi, «Chili (Capsicum annuum L.) in Southern Benin: Production Constraints, Varietal Diversity, Preference Criteria and Participatory Evaluation.,» International Research Journal of Agricultural Science and Soil Science, vol. 3, pp. 107-120, (2013).
- 7. OROBIYI, Etude ethnobotanique, evaluation participative et caracterisations agromorphologique et biochimique du piment (Capsicum annuum L.) au Benin., Abomey-Calavi,, 2015., p. 119 p.
- 8. P. M. A. M. e. S. S. Atashak S., « Effects of ginger (zingiber officinale Roscoe) supplementation and resistance training on some blood oxidative stress markers in obese men,» Journal of Exercise Science and Fitness, pp. 26-33, 2014.
- 9. .. Chaouche Yasmina, «Effet du mode et de la temperature de sechage sur l'activite antioxydant de trois legumes (Tomate, Poivron, Piment),,» Memoire de fin de cycle, Universite Abderrahmane Mira de Bejaia,, Beiaia., 2022.
- 10. R. D. Niaina, «Sechage des fruits et legumes,» Antananarivo, 2022.
- 11. [N. R. T. Z. S. P. Sawadogo M., «. Etude morphologique comparative de cinq varietes de gombo soumises à un stress,» nternational Journal of Biological and Chemical Sciences, vol. 10, n° %13, pp. 28-38, 2010.
- 12. C. K. K. B. B. G. A. M. &. S. K. A. T. I. Ekissi, «Amelioration de la duree de conservation des fruits de tomate F1 (Boomerang) par des techniques traditionnelles de conservation,» Afrique Science, vol. 19, n° %14, pp. 159-173, 2021.

- 13. D. S. M. K. B. K. M. P. S. O. A. K. G. W. P. O. K. S. D. A. a. D. J. B. Moctar Ousmane, «Etude des performances thermiques d'un sechoir solaire,» International Journal of Advanced Research, vol. 12, n° %11, pp. 1062-1072, 2024.
- 14. B. A. B. S. B. R. R. D. MENNOUCHE, «Valorisation de la pâte de tomate par le procede de sechage solaire indirect a convection forcee,» 4e Seminaire Maghrebin sur les Sciences et les Technologies de Sechage, pp. 125-132, 2013.
- 15. N. H. R. J. K. A. G. G. a. A. O. O. D. ONWUDE I., «NON-THERMAL Hybrid drying of fruits and vegetables,» A review of current technologies, Innovative Food Science and Emerging Technologies, pp. 223-238, 2017.
- 16. D. K. M. a. D. J. J. BHUYAN, « Comparative Study between Solar Dryer and Open Sun dried Tomato under North Plateau Climatic Zone.,» J Krishi Vigyan, vol. (1), n° %18, pp. 28 33, 2019.
- 17. K. S. M. H. R. M. A. A. a. M. Y. S. A. FUDHOLI, «Review of solar dryers for agricultural and marine products,» renewable and sustainable Energy Reviews, vol. 14, n° %11, pp. 1-30, 2010.
- 18. Safiatou, «Realisation et etude experimentale d'un sechoir solaire mixte,,» Ouagadougou, 2023.
- 19. R. K. M. O. M. D. F. N. B. D. S. O. A. O. S. K. D. J. B. Thierry Sikoudouin Maurice Ky, , Evaluation of an Indirect Solar Dryer in Forced Convection Mode Powered by a photovoltaic Solar Panel in Sub-Saharan Region., Ouagadougou, 2024.
- 20. D. M. B. P. S. Blake Ringeisen, «Concentrated solar drying of tomatoes,» Energy for Sustainable Development, vol. 19, pp. 47-55, 2014.
- C.-M. A. L. G.-V. O. P. F. I. B. O. R. López-Vidaña Erick Cesar, «Thermal performance of a passive, mixedtype solar dryer for tomato slices (Solanum lycopersicum),» Renewable Energy,, vol. 147, n° %11, pp. 845-855, 2020.
- 22. M. P. Harshit P. Bhavsar, «Performance investigation of natural and forced convection cabinet solar dryer for ginger drying,,» Materials Today: Proceedings,, vol. 47, n° %117, pp. 6128-6133, 2021.
- 23. T. S. M. D. B. O. E. O. S. a. B. Ky, «Novel Natural Convection Process: Indirect Solar Dryer Built with Spherical concentrators. Application to Tomato Drying.,» Elixir Thermal engg, vol. 122, p. 51615–51620, 2023.
- 24. S. R. Pangavhane, «Review of research and development work on solar dryers for grape drying.,» Journal of Energy Conversion and Management, pp. 45-61, 2002.
- 25. K. A. e. O. Amor, «Contribution à l'etude experimentale de sechage du poivron,» Algerie, 2020.
- 26. A. C. A. M. M. A. S. A. M. e. M. N. Ashraf K., «genetic divercity analysis of zingiber officinale Roscoe by RAPD collected from subcontinent of India,» Saudi Journal of Biological Sciences, vol. 15, pp. 159-165, 2014.
- 27. Safiatou, «Realisation et etude experimentale d'un sechoir solaire mixte,» Ouagadougou, 2023.
- 28. V. D. A. B. H. H. Z. K. A. P. F. HOUSSOU., «Analyse des pratiques endogènes de sechage des produits maraichers (tomate, oignon, piment, vernonia et baselic) au Benin,» benin, 2021.
- 29. F. A. B. L. C. H. A. L. F. I. e. B. C. H. Jelled A., «Chemical and antioxidant parameters of dried froms of giger rhizomes.» Industrial crops and products, vol. 77, pp. 30-35, 2015.
- 30. A. K. W. P. S. Ratnaningrum D., «Sensory and physicochemical evaluation of instant ginger drinks fortified with DFA III,» Procedia chemistry, vol. 16, pp. 177-183, 2015.